

Elliptic Curves and Cryptography

2017/06 – Mini-cours Agreg – Lille

Damien Robert



université
de BORDEAUX



Outline

- 1 Courbes elliptique
- 2 Fonctions sur les courbes
- 3 Algorithme de Miller
- 4 Couplages

Courbe plane lisse (k alg clos)

- Une courbe plane affine $C \subset \mathbb{A}_k^2 : f(x, y) = 0$ est lisse ssi en tout point $P = (x_p, y_p) \in C(k)$ on a

$$\left(\frac{\partial f}{\partial x}(x_p, y_p), \frac{\partial f}{\partial y}(x_p, y_p) \right) \neq (0, 0).$$

- C admet alors une tangente en P d'équation

$$\frac{\partial f}{\partial x}(x_p, y_p)(x - x_p) + \frac{\partial f}{\partial y}(x_p, y_p)(y - y_p) = 0.$$

- Version projective : $C \subset \mathbb{P}_k^2 : F(X, Y, Z) = 0$ est lisse ssi en tout point $P = (X_p : Y_p : Z_p)$ de $C(k)$ on a

$$\left(\frac{\partial F}{\partial X}(X_p, Y_p, Z_p), \frac{\partial F}{\partial Y}(X_p, Y_p, Z_p), \frac{\partial F}{\partial Z}(X_p, Y_p, Z_p) \right) \neq (0, 0, 0).$$

- La tangente en P a pour équation

$$\frac{\partial F}{\partial X}(X_p, Y_p, Z_p)X + \frac{\partial F}{\partial Y}(X_p, Y_p, Z_p)Y + \frac{\partial F}{\partial Z}(X_p, Y_p, Z_p)Z = 0.$$

Courbes elliptiques ($\text{char } k > 3$)

- Une courbe elliptique E/k est une courbe plane lisse d'équation affine

$$y^2 = f_E(x) = x^3 + ax + b.$$

- Il faut donc que f_E et f'_E n'aient pas de racines commune, ie
 $\text{Disc} f_E = 4a^3 + 27b^2 \neq 0.$
- Équation projective : $Y^2Z = X^3 + AXZ^2 + bZ^3$;
- Point à l'infini : $0_E = (0 : 1 : 0)$, tangente en 0_E : $Z = 0$, le cercle à l'infini.

Cardinal de E/\mathbb{F}_q

- $E[\ell](\bar{k}) \simeq (\mathbb{Z}/\ell\mathbb{Z})^2$;
- Sur \mathbb{F}_q , $E(\mathbb{F}_q) = \mathbb{Z}/a\mathbb{Z} \oplus \mathbb{Z}/b\mathbb{Z}$ avec $a \mid b$;
- Polynôme caractéristique du Frobenius :

$$\chi_\pi(X) = (X - \pi)(X - \hat{\pi}) = X^2 - tX + q.$$

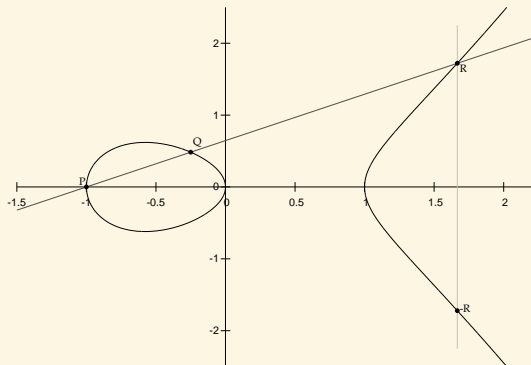
- Hasse : $|t| \leq 2\sqrt{q}$, donc $\Delta_\pi = t^2 - 4q \leq 0$.
- $\#E(\mathbb{F}_q) = \chi_\pi(1) = q + 1 - t$.

Logarithme discret

Définition (char $k \neq 2, 3$)

Une courbe elliptique est une courbe plane d'équation :

$$y^2 = x^3 + ax + b \quad 4a^3 + 27b^2 \neq 0.$$



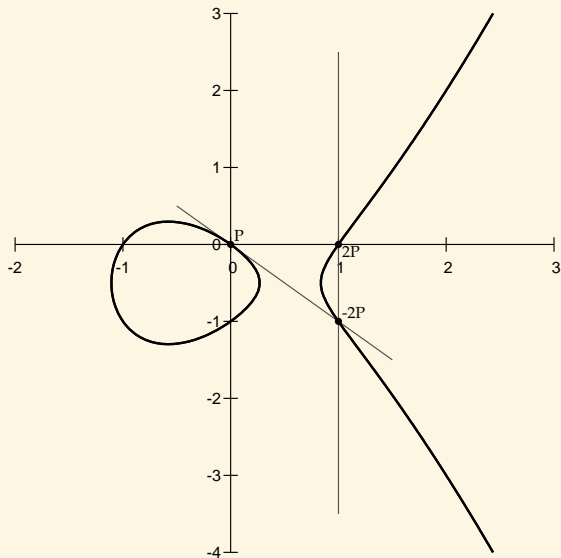
Exponentiation :

$$(\ell, P) \mapsto \ell P$$

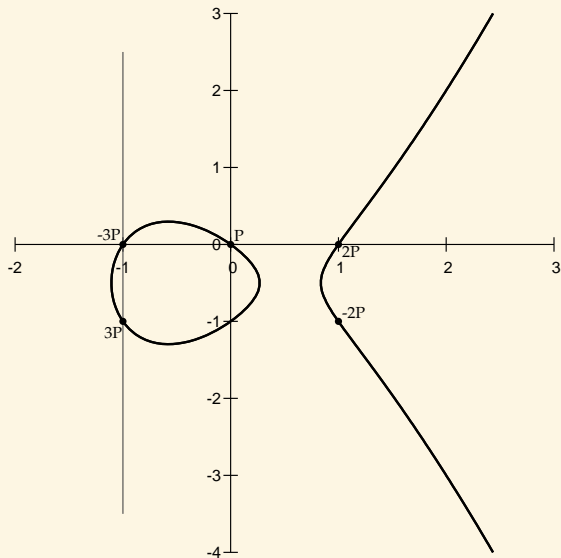
Logarithme discret :

$$(P, \ell P) \mapsto \ell$$

Multiplication scalaire sur une courbe elliptique



Multiplication scalaire sur une courbe elliptique



ECC (Elliptic curve cryptography)

Exemple (NIST-p-256)

- E courbe elliptique $y^2 =$

$$x^3 - 3x + 41058363725152142129326129780047268409114441015993725554835256314039467401291$$

sur $\mathbb{F}_{115792089210356248762697446949407573530086143415290314195533631308867097853951}$

- Clé publique :

$$P = (48439561293906451759052585252797914202762949526041747995844080717082404635286, \\ 36134250956749795798585127919587881956611106672985015071877198253568414405109),$$

$$Q = (76028141830806192577282777898750452406210805147329580134802140726480409897389, \\ 85583728422624684878257214555223946135008937421540868848199576276874939903729)$$

- Clé privée : ℓ tel que $Q = \ell P$.

ECC vs RSA pour 128 bits de sécurité

- ECC (Curve25519) 256 bits :

AAAA3NzaC1lZDI1NTE5AAAAIMoNrNYhU7CY1Xs6v4Nm1V6oRHs/FEE8P+XaZ0PcxPzz

- RSA 3248 bits :

MIHRgIbAAKCAZcAvlGW+b5L2tmqb5bUJMrfLHgr2jga/Q/8IJ5QJqeSsB7xLVT/
 ODN3KNSPxyjaHmDNDTWgsikZvPYeyZWFLP0B0vvgwDqUgUGHVfgc473ZolqZk6
 1nA45XZGHUPt98p4+ghPag5JyvAVsf1cF/Vl1ttBhu/nyoIAC4F3tHP81nn+10nB
 e1IEALbdmvgTTZ5jcrRt4IDT5a4IeI9yTe0aVdTsUJ6990hpKrVzyTOu1eoxp5eV
 KQ7aIX6es9Xjnr8widZunM8rqhBW9EMmLqabnXZi1tPQoV3rUAnwKzDLV7E56vjK
 S2xU5+95IctYy/RTTbF3wTxxnKD0qxId0MONHyBjsukXgYkxVB1fWhBKZ4tWu11g
 UCiIKTqLml2zJhln4WovaxrvvTx0082S0xncEfYDXyU4xbRnJn+ZsTTguqfwC1M
 U4MYRdwy7uj+H1EmIGu169Fw9NkuCitWI9dFpcDtSP+/1eEN7wc2F1xhDIRwer0F
 611P4S5twn1uQyHzsTLVdcP+rqA1AsvbWBCKL4ravE02CEQIDAQABoIB1lWt5YoJ
 YZs4k4RXbkSX/LvmXICfdmkjTKW6F1w+P4TnotCr0WPgK00bDoAnJ0ucnbSWMNgMcU
 0125F8q9+UudWZx4KBZm0j81POPzJ2nYcK5dYDhyMhZDq1LJ4zJfgPQGQ5sqW2Bwm
 2RHdHADdtH6YZArs/z9hAqtA9gqMPnMPcdQpIv1sHS0n06zBJD8sJQA+K0xG+Y2
 GS8NakLCuV1DpNd/Q+QHkv4AW1ge2EF8QvmKtU/9reK0BqWnm2Tapd6RtAhZwPJX
 Uhd9yiesTF6rjZ1zCMGXUaNSRt0zD3D4zowRz2JLtcE4GkiJmct3waN6hu1IaIqz
 boI11evqnbatqnC4rCq8sf21yZqaLUIbwH41W2G3K8xMJN3i3y8cgHTYneNYa+/d
 7xyNWlM09SK1HsyaPcWv988Dd+At0x/6R6YYPkeR+qxJ9ETGFk4U6iNbBQXVMbh
 kZb1Ry8vfmH8vsY1zhEdg6aq00S0U57KiDS/Gc8KuuI6vmf21eCdCa487kvcGw6
 cGXQ2bLZGYBiMZFF001pCQECgcwASZU3h/8yS0duNhsDz3sgC2u40HwHUbuXoSUoa
 a5t4CoUY9iuF7b7qhBEcVdLgI0iXA5xo+r4p0xgblvDUTsRR1mrDM2+wRcjwXcW
 pFaMFR12Rr72yLUC7N0WncUshrNL4X/1j8T4wLRcannXcor+/kn1rwdLEBRCC+
 zRTAD1lgMPt4kw3eHtE9Mzw2/03GX3MeLvzvJklzvpCgw20N/2Yqjs++V5hXoHPs
 21y6y6/FV097dvFctf7NahS04Jsjubfnj0Mx89AUNZsCgcwA1DfabCGJ5CkMq+mg
 2q91DPJz6r29wmBtYyT20z2Kd4QBhrOp0t59yG4bvDRqCZG/Dr5LjvDUVMpyetV
 dksK7hVYQz2B7Nzy7W3waPvVrhA0N4fqblFGxiH5QisVFG7/oroZPdZdcFWRKroh1
 /J77rIz/ZBQCLRS5t7/G2B0kBDOMMM+02wR60CTmxUhmvgvs0DZWRp5KKha5PSvZa
 WAu2CN3mXNK72RLF3RFUvuhNYnkOEj50au1RaGgpZoB0JTKYI9nffbe8up+DV8MC
 gcwA18be28Tis5FYg+/IGQ3EBHfucTiTDQqA2Ew/8pTfk+z0kr9yYISsKXUuaSk
 +skghkPcrugw8LgabH4GT/zGu+1H4btyek5BxeCtFqTtpED1WJ0W0D2oz17NX5jd
 YrhF+VcCMcWA7ek0qShJkmT4XMO/wPab4VFEKzgLnhZQ1cZB3ke7/4/0HndScIE7
 vWvNerCdYdRggT+wBX+Y6bXP142Smj8uyu1oDmpmR5ZUCnTdqT408K/RT0x4jCeC
 CUhg5vVi1107b54CdkCgcTxxvNqWczmwVrV744TFtUhu81TwHnqGwaA/LKU3wW9
 T/x9ba1uHFkXaWvRba61LICDGP5YM4hwTYokqYnfbC2rv0W0f6rtxn1P1An3y61V
 oVqfDeNiFmIYvnniPPEEm0JZA+QnburLYw0x4DgwYvyBnpa18Wp08c3L/34hkWLm
 Pr30D10xhIumlEYAnCvUcIveSfwNenSVfzW+KTDTeKaP0RvF1I1WdDAA29vY6fD



Chiffrement El Gamal

- Clé publique : $(g, p = g^a)$, Clé privée : a ;
- Chiffrement $m \mapsto (g^k, s = p^k \cdot m)$ (k aléatoire) ;
- Déchiffrement $m = s / (g^k)^a$.
- **Attention** : Ne jamais réutiliser k .

Remarque (Diffie-Hellman)

$$g^a, g^b, g^{ab} = (g^a)^b = (g^b)^a.$$

Authentification sans divulgation de connaissances (Zero Knowledge)

- Alice publie $(g, p = g^a)$, son secret est a .
- Alice choisit un x aléatoire en envoie $q = g^x$;
- Soit Bob demande la valeur de $a + x$ et vérifie que $q \cdot p = g^{a+x}$.
- Sinon Bob demande la valeur de x et vérifie que $q = g^x$;

DSA (Signature)

- Clé publique : $(g, p = g^a)$, Clé privée : a ;
- $\Phi : G \rightarrow \mathbb{Z}/n\mathbb{Z}$;
- Signature : $m \mapsto (u = \Phi(g^k), v = (m + a\Phi(g^k))/k) \in (\mathbb{Z}/n\mathbb{Z})^2$;
- Vérification : $u = \Phi(g^{mv^{-1}} p^{uv^{-1}})$.

Loi d'addition sur le modèle de Weierstrass

$E : y^2 = x^3 + ax + b$ (forme Weierstrass courte).

- Quand $P \neq Q$:

$$P + Q = -R = (x_R, -y_R)$$

$$\alpha = \frac{y_Q - y_P}{x_Q - x_P}$$

$$x_R = \alpha^2 - x_P - x_Q \quad y_R = y_P + \alpha(x_R - x_P)$$

(Si $x_P = x_Q$ alors $P = -Q$ et $P + Q = 0_E$).

- Si $P = Q$, alors α est la **pen**te de la tangente en P :

$$\alpha = \frac{3x_P^2 + b}{2y_P}$$

$$x_R = \alpha^2 - 2x_P \quad y_R = y_P + \alpha(x_R - x_P)$$

- Preuve : $l_{P,Q} : y - y_P = \alpha(x - x_P) + \beta$ équation de la droite entre P et Q (ou de la tangente à E en P quand $P = Q$). De plus x_R, x_P, x_Q sont les trois racines $x^3 + ax + b - (\alpha x + \beta)^2$ donc $x_P + x_Q + x_R = \alpha^2$.

⇒ Travailler en coordonnées projective ($X : Y : Z$) évite de calculer les divisions :

$$E : Y^2Z = X^3 + aXZ^2 + bZ^3.$$

Multiplication scalaire

- $P \mapsto n \cdot P$ par l'algorithme « double and add » ;
- Exemple : $22 = 2^4 + 2^2 + 2 = (2(1 + 2(2)))$. $22 \cdot P = \overline{10110} \cdot P$: Double, Double+Add, Double+Add, Double $\Rightarrow P, 2P, 5P, 11P, 22P$;
- En moyenne $\log n$ doublement et $1/2 \log n$ additions ;
- Améliorations : windowing. $\overline{10110} \cdot P$: Double+Double+Add P , Double+Double+Add $2P \Rightarrow 5P, 22P$;
- Fenêtre de taille $k \Rightarrow$ table de taille 2^k , $\log n$ doublements et $1/k(1-1/2^k) \log n$ additions ;
- Sliding window : Double, Double, Double, Add $3P$, Double $\Rightarrow P, 2P, 4P, 8P, 11P, 22P$;
- Fenêtre de taille $k \Rightarrow$ table de taille 2^{k-1} , $\log n$ doublements et $1/(k+1) \log n$ additions ;
- NAF (non adjacent form), $n = \sum b_i 2^i$ où $b_i \in \{-1, 0, 1\}$. On a toujours une représentation sans deux 1, -1 consécutifs $\Rightarrow \log n$ doublement et $1/3 \log n$ additions/soustractions.
- $22 = 32 - 8 - 2 = \overline{10-10-10}$. $22 \cdot P$: Double, Double+Subtract, Double, Double+Subtract, Double $\Rightarrow P, 2P, 3P, 6P, 11P, 22P$.

Multiplications scalaires

- Multiples scalaires $(P, Q) \mapsto n \cdot P + m \cdot Q$ par doublement et addition de P , Q ou $P + Q$ suivant les bits de n et m ;
- En moyenne $\log N$ doublement et $3/4 \log N$ additions où $N = \max(n, m)$;
- GLV : s'il existe un endomorphisme α (calculable facilement) tel que $\alpha(P) = u \cdot P$ where $u \approx \sqrt{n}$, alors on peut remplacer le calcul de $n \cdot P$ par un calcul $n_1 P + n_2 \alpha(P)$;
- On s'attend à ce que n_1 et n_2 soit de taille la moitié de celle de $n \Rightarrow$ de $\log n$ doublement et $1/2 \log n$ additions à $1/2 \log n$ doublement et $3/8 \log n$ additions.

Fonctions rationnelles sur la droite projective

- Soit C la droite projective \mathbb{P}_k^1 sur k (k alg. clos), $K = k(C) = k(X)$ son corps des fonctions ;
- Si $P = (a : 1) \in C(k)$ et $f \in k(C)$, on définit $v_P(f) = n$ ssi $f = (X-a)^n f_0$ où P n'est pas un pôle ni un zéro de P ;
- $v_P : k(C) \rightarrow \mathbb{Z}$ est une **valuation discrète**

$$v_P(fg) = v_P(f) + v_P(g)$$

$$v_P(f+g) \geq \min(v_P(f), v_P(g))$$

$$v_P(f+g) = \min(v_P(f), v_P(g)) \text{ si } v_P(f) \neq v_P(g).$$

$v_P(X-a) = 1$ donc $X-a$ est une uniformisante en P .

- Si $v_P(f) = 0$, P n'est pas un pôle ou zéro de f ;
- Si $v_P(f) = n > 0$, P est un zéro d'ordre (ou de multiplicité) n de f ;
- Si $v_P(f) = n < 0$, P est un pôle d'ordre (ou de multiplicité) n de f .

Remarque

$f \in k(X)$ a un développement en série de Laurent

$$f = \sum_{i \geq v_a(f)} c_i (X-a)^i$$

Point à l'infini

- Si $\infty = (1 : 0)$ est le point à l'infini, on définit $v_\infty(f(X)) = v_0(f(1/X))$;
- Si $f(X) = f_1(X)/f_2(X)$, $v_\infty(f) = \deg f_2 - \deg f_1 = -\deg f$;
- Les valuations discrètes (non triviales) sur $k(C) = k(X)$ sont en bijection avec les points $C(k) = \mathbb{P}_k^1(k)$;
- **Remarque** : si $k = \mathbb{R}$, la valuation correspondant à l'uniformisante $X^2 + 1$ correspond au point schématique $\text{Spec } \mathbb{R}[X]/(X^2 + 1)$ ou encore à l'orbite Galoisienne $\{i, -i\}$ dans $\mathbb{P}_{\mathbb{R}}^1(\mathbb{C})$.

Diviseurs

- Si $f \in k(C)$, on définit la somme formelle

$$\operatorname{div}(f) = \sum_{P \in C(k)} v_P(f)(P);$$

- Un **diviseur** est une somme formelle à support fini $D = \sum_{P \in C(k)} n_P(P)$;
- Si $D = \sum_{P \in C(k)} n_P(P)$ est un diviseur, son **degré** est $\deg(D) = \sum_{P \in C(k)} n_P$;
- $\operatorname{div}(f)$ est un diviseur de degré 0 ;
- Exemple : $f = c \frac{\prod (X - a_i)^{n_i}}{\prod (X - b_i)^{m_i}}$ a pour diviseur $\sum n_i(a_i) - \sum m_i(b_i) - \deg f(\infty)$;
- Réciproquement si $D = \sum n_i(a_i) + m(\infty)$ est un diviseur de degré 0, $f = \prod (X - a_i)^{n_i}$, $\operatorname{div} f = D$.

Proposition

$\operatorname{div}(f) = \operatorname{div}(g)$ ssi $f = cg$ où $c \in k$.

Courbes

- $C \mapsto k(C)$ donne une équivalence de catégorie entre les courbes (intègres) + les morphismes dominants et la catégorie opposée des corps K de degré de transcendance 1 sur k (et de type fini sur k);
- Si K est un corps de degré de transcendance 1 sur k , K correspond à une classe d'équivalence birationnelle d'une courbe C . Il existe un unique représentant projectif lisse \tilde{C} de cette classe (que l'on peut obtenir par résolution des singularités en faisant des blowups sur C);
- On suppose dorénavant que C est une courbe intègre lisse.

Exemple ($\text{char } k > 3$)

Si $E : ZY^2 = X^3 + aXZ^2 + bZ^3$ est une courbe elliptique, c'est une courbe projective lisse intègre représentant le corps $k(E) = k(x)[y]/(y^2 - x^3 - ax - b)$.

Valuations

Théorème

Si C est une courbe intègre lisse projective sur k (alg. clos), il y a bijection entre les points $C(k)$ et les valuations discrètes (non triviales) sur $k(C)$.

Démonstration.

Dans un sens : si $P \in C(k)$, on peut définir O_P l'anneau local donné par les fonctions de $C(k)$ définies en P , m_P son idéal maximal donné par les fonctions s'annulant en P .

Comme C est lisse, $\dim_k m_P/m_P^2 = 1$, donc (O_P, m_P) est un anneau de valuation discrète. □

- On a donc $m_P = (t_P)$ où t_P est une **uniformisante** en P .
- Si $f \in k(C)$ on peut écrire $f = t_P^{v_P(f)} f_0$ avec $f_0(P) \notin \{0, \infty\}$, autrement dit $f_0 \in O_P^*$.

Interprétation géométrique

- Soit $C : f(x, y) = 0$ une courbe plane affine intègre lisse.
- Soit $g \in k[C] = k[x, y]/f(x, y)$, restriction d'une fonction $\tilde{g} \in k[x, y] = k(\mathbb{A}_k^2)$.
- Soit $P \in C$, et notons $m_P \subset k[C]$ l'idéal d'annulation en P dans $k[C]$ et $\tilde{m}_P \subset k[x, y]$ le même idéal dans $k[x, y]$.

$$\tilde{g}(x, y) = \tilde{g}(P) + \frac{\partial \tilde{g}}{\partial x}(x_P, y_P)(x - x_P) + \frac{\partial \tilde{g}}{\partial y}(x_P, y_P)(y - y_P) \pmod{\tilde{m}_P^2}.$$

- Or $v_P(g) \geq 2$ ssi $g \in m_P^2$ ssi $\tilde{g} \in \tilde{m}_P^2 + (f)$ ssi C est tangente à la courbe associée à \tilde{g} dans \mathbb{A}_k^2 .

Complétion

Remarque (complétion)

Pour tout $P \in C(k)$, on a $k(C) \subset k((t_p))$ où t_p est une uniformisante en P :

$$f = \sum_{i=v_p(f)}^{\infty} a_i t_p^i.$$

On a $a_{v_p(f)} = (f t_p^{-v_p(f)})(P)$.

Exemple (Modèles de courbes elliptiques.)

- Soit C l'intersection des deux quadriques

$$u^2 + kw^2 = 1, v^2 - 4w^2 = 1.$$

- C a un point rationnel donc est une courbe elliptique.
- $x = \frac{1-u}{k-kw}$ et $y = kw^2/2$ donnent les coordonnées de Weierstrass.
- Le développement en série de Laurent permet de calculer l'équation de Weierstrass.



Diviseurs

- Si $f \in k(C)$, $\text{div}(f) = \sum_{P \in C(k)} v_P(f)(P)$ est un diviseur de degré 0 ;
- $\text{div}(f) = \text{div}(g)$ ssi $f = cg$ où $c \in k$.
- **Attention** : si D est un diviseur de degré 0, D ne provient pas forcément d'une fonction f .
- Si $D = \text{div}(f)$ on dit que D est un **diviseur principal** ;
- D est linéairement équivalent à D' ssi $D = D' + \text{div}(f)$;
- D est linéairement équivalent à 0 ssi D est principal ;
- $\text{Pic}(C) = \text{Div}^0(C)/\text{Princ}(C)$.

Évaluer une fonction en un diviseur

- Si $D = \sum n_p(P)$ est un diviseur et $f \in k(C)$ de support disjoint de D ,

$$f(D) = \prod f(P)^{n_p}.$$

- On peut étendre l'évaluation $f(D)$ à tout D en posant $f(P) = a_{v_p(f)}$, le premier terme de la série de Laurent de f en t_p (dépend des uniformisantes choisies).

Théorème (Réciprocité de Weil)

$$f(\operatorname{div} g) = (-1)^{\sum_p v_p(f)v_p(g)} g(\operatorname{div} f)$$

Exemple

Si $C = \mathbb{P}_k^1$, $f, g \in k[X]$,

$$f(\operatorname{div} g) = \operatorname{Res}(f, g) = (-1)^{\deg f \deg g} (g, f) = (-1)^{\deg f \deg g} g(\operatorname{div} f).$$

Fonctions sur les courbes elliptiques

- Soit $E : y^2 = x^3 + ax + b$ une courbe elliptique (affine), $k(E)/k(x)$ est une extension Galoisienne de degré 2.
- On note σ l'involution Galoisienne et $N(f) = f \cdot \sigma(f) \in k(x)$ la norme de f ;
- Si $f(x, y) \in k(E) = k(x)[y]/(y^2 - x^3 - ax - b)$, on peut écrire $f = f_1(x) + yf_2(x)$ avec $f_1(x), f_2(x) \in k(x)$.
- Soit $\pi : E \rightarrow \mathbb{P}^1, (x, y) \mapsto x$ le revêtement Galoisien associé à $k(E)/k(x)$.
- Si $f \in k(x)$, $\operatorname{div} f = \sum n_i x_i$, $\pi^* \operatorname{div} f = \operatorname{div} \pi^* f = \operatorname{div} f \circ \pi = \sum n_i \pi^*(x_i)$.
- Si $f \in k(E)$, $\operatorname{div} f = \sum n_p P$, $\pi_* \operatorname{div} f = \sum n_p \pi(P) = \operatorname{div} N(f)$.
- Si $P = (x_p, y_p) \in E(k)$ avec $y_p \neq 0$, une uniformisante est $t_p = (x - x_p)$;
- Si $P = (x_p, 0) \in E(k)$ est un point de Weierstrass, une uniformisante est $t_p = y$;
- Si $P = 0_E$, une uniformisante est $t_p = x/y$.

Remarque

$$v_p(f) = v_{-p}(\sigma(f)).$$

Calcul pratique de valuations

- Si P n'est pas un point de Weierstrass, et $f = f_1(x) + yf_2(x) \in k(E)$ vérifie $f(P) = f(-P) = 0$, alors $f_1(x_p) = f_2(x_p) = 0$, donc on a $f(x, y) = (x - x_p)f_0(x, y)$;
- Si $f \in k(E)$ elle s'écrit donc $f(x, y) = (x - x_p)^n f_0(x, y)$ avec soit $f_0(P) \neq 0$, soit $f_0(-P) \neq 0$, ie $\sigma(f_0)(P) \neq 0$. Dans le premier cas $v_p(f) = n$, et dans le second $f(x, y) = (x - x_p)^n \frac{N(f_0)}{\sigma(f_0)}(x, y)$ donc $P(f) = n + v_{x_p}(N(f_0))$.
- Si P est un point de Weierstrass, E a pour équation $y^2 = (x - x_p)(x - x_Q)(x - x_R)$. En particulier

$$x - x_p = \frac{y^2}{(x - x_Q)(x - x_R)},$$

donc $v_p(x - x_p) = 2$.

- Si $f = f_1(x) + yf_2(x)$ alors $v_p(f_1)$ est pair et $v_p(yf_2)$ est impair donc $v_p(f)$ est le minimum des deux. On a $f = y^{v_p(f)} f_0$ avec $f_0(P) \notin \{0, \infty\}$, donc $v_p(f) = v_{x-x_p} N(f)$.
- $v_{0_E}(f) = -\deg(f)$ où $\deg(x) = 2$ et $\deg(y) = 3$.
- Ainsi $\text{div}(x - x_p) = (P) + (-P) - 2(0_E)$.

Pic(E) $\simeq E$

Théorème

- $D = \sum_{P \in E(k)} n_P(P)$ est principal ssi

$$\sum n_P P = 0_E \in E(k).$$

- Si $D = \sum_{P \in E(k)} n_P(P)$ est de degré 0, alors D est linéairement équivalent à $(\sum n_P(P)) - (0_E)$;

Remarque

Si D est principal, f une fonction représentant $D : D = \text{div} f$. On peut normaliser f en demandant que $(ft_{0_E}^{-v_P(f)})(0_E) = 1$. On note f_D la fonction normalisée correspondante.

- **Question** : Étant donné un diviseur principal $D = \sum n_P(P)$, comment calculer f_D et évaluer rapidement $f_D(Q)$?
- Sur \mathbb{P}_k^1 , $D = \sum n_i(a_i)$, $f_D(x) = \prod (x - a_i)^{n_i}$ s'évalue en temps (quasi) linéaire en la taille de D .

Exemple : $D = (P) + (Q) - (P+Q) - (0_E)$

- $D = (P) + (Q) - (P+Q) - (0_E)$ est principal, on note $\mu_{P,Q}$ la fonction normalisée associée.
- Soit $l_{P,Q}$ la droite passant par P et Q . On a $\text{div } l_{P,Q} = (P) + (Q) + (-P-Q) - 3(0_E)$.
- Soit v_P la droite verticale passant par P , on a $\text{div } v_P = (P) + (-P) - 2(0_E)$.
- Si $Q \neq -P$,

$$\mu_{P,Q} = \frac{l_{P,Q}}{v_{P+Q}} = \frac{y - \alpha(x - x_P) - y_P}{x + (x_P + x_Q) - \alpha^2}$$

où $\alpha = \frac{y_P - y_Q}{x_P - x_Q}$ est la pente de $l_{P,Q}$ ($\alpha = \frac{f'_E(x_P)}{2y_P}$ si $P = Q$ est la pente de la tangente en P).

- $\mu_{P,-P} = (x - x_P)$;

Cas général

- Si $D = (P) + (Q) + (R) + \cdots + m(0_E)$, on a
 $D - \text{div}(\mu_{P,Q}) = (P + Q) + (R) + \cdots + (m + 1)(0_E)$;
- Par itérations successive, on se ramène à un diviseur de la forme
 $(R) - (0_E)$.
- Si $R = 0_E$, D est principal. Sinon, D n'est pas principal, car si f avait pour diviseur $(R) - (0_E)$, on aurait $k(E) = k(f)$, donc E serait de genre 0, mais une courbe elliptique est de genre 1.
- Si $D = n_P(P) + n_Q(Q) + \cdots + m(0_E)$, on peut avoir beaucoup d'itérations successives.
- Si $P \in E(k)$, $D = \lambda(P) - (\lambda P) - (\lambda - 1)(0_E)$ est un diviseur principal, on note $f_{\lambda,P}$ la fonction associée. Comment évaluer la fonction $f_{\lambda,P}$ en un point Q rapidement ?
- Cas particulier : si $P \in E[\ell](k)$ est un point de ℓ -torsion (ℓ grand), comment évaluer la fonction $f_{\ell,P}$ de diviseur $\ell(P) - \ell(0_E)$ en un point Q rapidement ?

Cas général

- Si $D = (P) + (Q) + (R) + \cdots + m(0_E)$, on a
 $D - \operatorname{div}(\mu_{P,Q}) = (P + Q) + (R) + \cdots + (m + 1)(0_E)$;
- Par itérations successive, on se ramène à un diviseur de la forme
 $(R) - (0_E)$.
- Si $R = 0_E$, D est principal. Sinon, D n'est pas principal, car si f avait pour diviseur $(R) - (0_E)$, on aurait $k(E) = k(f)$, donc E serait de genre 0, mais une courbe elliptique est de genre 1.
- Si $D = n_P(P) + n_Q(Q) + \cdots + m(0_E)$, on peut avoir beaucoup d'itérations successives.
- Si $P \in E(k)$, $D = \lambda(P) - (\lambda P) - (\lambda - 1)(0_E)$ est un diviseur principal, on note $f_{\lambda,P}$ la fonction associée. Comment évaluer la fonction $f_{\lambda,P}$ en un point Q rapidement ?
- Cas particulier : si $P \in E[\ell](k)$ est un point de ℓ -torsion (ℓ grand), comment évaluer la fonction $f_{\ell,P}$ de diviseur $\ell(P) - \ell(0_E)$ en un point Q rapidement ?

Algorithme de Miller

- $f_{\lambda+\nu, P} = f_{\lambda, P} f_{\nu, P} \mu_{\lambda P, \nu P}$
- En effet le diviseur du quotient est

$$(\lambda + \mu)P - ((\lambda + \mu)P) - \lambda(P) + (\lambda P) - \lambda(Q) + (\lambda Q) - (\lambda P) - (\lambda Q) + ((\lambda + \mu)P) + (0_E) \simeq 0.$$

- On en déduit un algorithme de « double and add » pour calculer $f_{\lambda, P}$.
Initialisation : $f_{1, P} = 1$.

Algorithme

Input: $r \in \mathbb{N}$, $l = \lceil \log r \rceil$, $P = (x_P, y_P) \in E(k)$, $Q = (x_Q, y_Q) \in E(k)$.

Output: $f_{r, P}(Q)$.

- 1 Compute the binary decomposition : $r := \sum_{i=0}^l b_i 2^i$. Let $T = P, f = 1$.
- 2 For i in $[l-1..0]$ compute
 - 1 $f = f^2 \mu_{T, T}(Q)$;
 - 2 $T = 2T$;
 - 3 If $b_i = 1$, then compute
 - 1 $f = f \mu_{T, P}(Q)$;
 - 2 $T = T + P$.

Return f .



Cryptographie à base de couplages

Définition

Un **couplage** est une application bilinéaire non dégénérée $e : G_1 \times G_1 \rightarrow G_2$ entre des groupes abéliens finis.

Exemple

- Si le couplage e est facile à calculer, la difficulté du DLP dans G_1 se ramène à la difficulté du DLP dans G_2 .
- ⇒ Attaque MOV sur les courbes elliptiques supersingulières : passage du DLP sur $E(\mathbb{F}_p)$ au DLP dans $(\mathbb{F}_p^2)^*$.
- One way tripartite Diffie–Hellman [Jou04].
- Identity-based cryptography [BF03].
- Short signature [BLS04].
- Self-blindable credential certificates [Ver01].
- Attribute based cryptography [SW05].
- Broadcast encryption [Goy+06].

Exemples d'applications

Exemple (Diffie-Helman tripartite)

Alice envoie g^a , Bob envoie g^b , Charlie envoie g^c . La clé commune est

$$e(g, g)^{abc} = e(g^b, g^c)^a = e(g^c, g^a)^b = e(g^a, g^b)^c \in G_2.$$

Exemple (Signatures courtes)

- Clés : (P, sP) , s . $s \in \mathbb{N}, P \in G_1$.
- Signature de M : $V = sM$.
- Vérification de V : $e(V, P) = e(M, sP)$.

Exemple (Cryptographie fondée sur l'identité)

- Clé maître : (P, sP) , s . $s \in \mathbb{N}, P \in G_1$.
- Clé secondaire : Q, sQ . $Q \in G_1$.
- Chiffrement : $m \in G_2$: $m' = m \oplus e(Q, sP)^r, rP$. $r \in \mathbb{N}$.
- Déchiffrement : $m = m' \oplus e(sQ, rP)$.

Exemples d'applications

Exemple (Somewhat homomorphic encryption)

- Le chiffrement El-Gamal : $M \rightarrow (rP, M + rQ)$ est additif sur $E(\mathbb{F}_q)$ (r aléatoire);
- Donc le chiffrement dérivé : $m \in \mathbb{Z} \rightarrow (rP, mP + rQ)$ est additif sur $E(\mathbb{F}_q)$; on retrouve m à partir de mP par un DLP (temps \sqrt{M} où M est le maximum des entiers pouvant être chiffrés);
- BGN05 [BGN05] : P est d'ordre $n = p_1 p_2$ un produit de grands nombres premiers, et on se donne Q un point d'ordre p_1 .
- Le secret est p_1 . Clé publique : P, Q, n .
- Chiffrement : $c = mP + rQ$ (r aléatoire dans $\mathbb{Z}/n\mathbb{Z}$). Déchiffrement : $p_2 c = m(p_2 P)$, que l'on retrouve par un DLP.
- $\text{Add}(c_1, c_2) = c_1 + c_2 + rQ$.
- $\text{Mult}(c_1, c_2) = e(c_1, c_2) \cdot e(Q, Q)^r$.
- Après une Mult on est dans μ_n . Le système reste additif (par rapport aux messages) et le déchiffrement est le DLP de c^{p_2} par rapport à $e(P, P)^{p_2}$.
- On peut donc évaluer n'importe quel polynôme quadratique à plusieurs variables directement sur les messages chiffrés!

Couplage de Weil sur les courbes elliptiques

- Soit $P, Q \in E[\ell]$ des points de ℓ -torsion ($\ell \neq p$).
- Rappel : $f_{\ell,P}$ a pour diviseur $\ell(P) - \ell(0)$.
- On définit

$$e_{W,\ell}(P, Q) = \frac{f_{\ell,P}((Q) - (0))}{f_{\ell,Q}((P) - (0))}.$$

- L'application $e_{W,\ell} : E[\ell] \times E[\ell] \rightarrow \mu_\ell$ est bilinéaire non dégénérée : c'est le couplage de Weil.

Définition (Embedding degree)

Si E/\mathbb{F}_q , on note d le plus petit entier tel que $\ell \mid q^d - 1$; autrement dit \mathbb{F}_{q^d} est la plus petite extension contenant $\mu_\ell(\overline{\mathbb{F}_q})$.

Couplage de Weil sur les courbes elliptiques

Démonstration.

- $e_{W,\ell}(P, Q) = e_{W,\ell}(Q, P)^{-1}$ trivialement, donc il suffit de prouver la bilinéarité à droite ;

•

$$\frac{f_{\ell,P}(Q+R)}{f_{\ell,Q+R}(P)} = \frac{f_{\ell,P}(Q) f_{\ell,P}(R)}{f_{\ell,Q}(P) f_{\ell,R}(P)} \iff \frac{f_{\ell,P}(Q) f_{\ell,P}(R)}{f_{\ell,P}(Q+R)} = \frac{f_{\ell,Q}(P) f_{\ell,R}(P)}{f_{\ell,Q+R}(P)} \iff$$

$$f_{\ell,P}((Q) + (R) - (Q+R) - (0_E)) = \mu_{Q,R}^\ell((P) - (0_E))$$

Comme $\mu_{Q,R}^\ell((P) - (0_E)) = \mu_{Q,R}(\ell(P) - \ell(0_E))$, l'égalité découle du théorème de réciprocité de Weil ;

- Le même genre d'argument montre que si $e_{W,\ell}(P, Q) = 1$ pour tout $Q \in E[\ell]$ alors il existerait $g_{\ell,P}$ tel que $f_{\ell,P} = g_{\ell,P}^\ell$, autrement dit $(P) - (0_E)$ serait principal, ce qui est absurde.

□

Couplage de Weil en pratique

- E/\mathbb{F}_q courbe elliptique de cardinal $\#E(\mathbb{F}_q) = \ell$ premier ;
- Le polynôme caractéristique du Frobenius π agissant sur $E[\ell]$ est $X^2 - tX + q \pmod{\ell}$;
- Si d est le degré de plongement et $d > 1$, alors $\pi = \begin{pmatrix} 1 & 0 \\ 0 & q \end{pmatrix}$ (car $q \not\equiv 1 \pmod{\ell}$).
- En particulier $E[\ell] \subset E(\mathbb{F}_{q^d})$ lorsque $d > 1$.
- On note $\mathbb{G}_1 = \text{Ker}(\pi - \text{Id})$ et $\mathbb{G}_2 = \text{Ker}(\pi - q\text{Id})$. $\mathbb{G}_1 = E[\ell](\mathbb{F}_q)$ et $\mathbb{G}_2 \subset E[\ell]$ est le sous-groupe de trace zero.
- Alors $e_{W,\ell}$ restreint à $\mathbb{G}_1 \times \mathbb{G}_2$ est non dégénérée.

Couplage de Tate sur \mathbb{F}_q

Définition

Le couplage de Tate est l'application bilinéaire non dégénérée :

$$e_{T,\ell} : E_0[\ell](\mathbb{F}_q) \times E(\mathbb{F}_q)/\ell E(\mathbb{F}_q) \longrightarrow \mathbb{F}_{q^d}^*/\mathbb{F}_{q^d}^{*\ell} \quad .$$

$$(P, Q) \longmapsto f_{\ell,P}((Q) - (0))$$

$$E_0[\ell] = \mathbb{G}_2 = \{P \in E[\ell](\mathbb{F}_{q^d}) \mid \pi(P) = [q]P\}.$$

- Sur \mathbb{F}_{q^d} ($d > 1$), le couplage de Tate est un couplage

$$e_{T,\ell} : E[\ell](\mathbb{F}_{q^d}) \times E(\mathbb{F}_{q^d})/\ell E(\mathbb{F}_{q^d}) \rightarrow \mathbb{F}_{q^d}^*/\mathbb{F}_{q^d}^{*\ell} \simeq \mu_\ell;$$

- L'isomorphisme $\mathbb{F}_{q^d}^*/\mathbb{F}_{q^d}^{*\ell} \simeq \mu_\ell$ est donné par $x \mapsto x^{(q^d-1)/\ell}$.
- Si $E(\mathbb{F}_{q^d})$ n'a pas de points de ℓ^2 -torsion, alors $E(\mathbb{F}_{q^d})/\ell E(\mathbb{F}_{q^d}) \simeq E[\ell](\mathbb{F}_{q^d})$;
- Dans ce cas la restriction $e_{T,\ell} : \mathbb{G}_1 \times \mathbb{G}_2 \rightarrow \mu_\ell, (P, Q) \mapsto f_{\ell,P}P(Q)^{(q^d-1)/\ell}$ est non dégénérée.

Preuve si $d > 1$

- Comme $E[\ell] \subset E(\mathbb{F}_{q^d})$, l'endomorphisme $\alpha = \frac{\pi^d - 1}{\ell}$ est bien défini :
 $\alpha(Q) = \pi^d(Q') - Q' \in E[\ell]$ où $\ell Q' = Q$.
- On peut montrer que $e_{T,\ell}(P, Q)^{(q^d - 1)/\ell} = e_{W,\ell}(P, \alpha Q)$.
- Donc $e_{T,\ell}$ est bilinéaire. De plus l'image de α est isomorphe à $E(\mathbb{F}_{q^d})/\ell E(\mathbb{F}_{q^d})$, donc est de cardinal ℓ^2 donc α est surjective et $e_{T,\ell}$ est non dégénéré.
- α commute avec π donc stabilise \mathbb{G}_1 et \mathbb{G}_2 donc la restriction de $e_{T,\ell}$ à $\mathbb{G}_1 \times \mathbb{G}_2$ est non dégénérée. (Quand $E(\mathbb{F}_{q^d})$ n'a pas de points de ℓ^2 -torsion.)
- Si $d = 1$, alors $\alpha : E(\mathbb{F}_q)/\ell E(\mathbb{F}_q) \rightarrow H^1(G, E[\ell]) \simeq E[\ell]/(\pi - 1)$, et $e_{W,\ell}(P, \alpha Q) \in H^1(G, \mu_\ell) \simeq \mathbb{F}_q^*/\mathbb{F}_q^{*\ell} \simeq \mu_\ell/(\pi - 1) = \mu_\ell$ où G est le groupe de Galois de \mathbb{F}_q .
- Le couplage de Tate reste bien défini et non dégénéré. Si \mathbb{G}_1 est cyclique engendré par P , $e_{T,\ell}(P, P) \neq 1$.

Élimination des dénominateurs

- On suppose $d > 1$ pair ;
- Si $P \in \mathbb{G}_1$, $x_P \in \mathbb{F}_q$;
- si $Q \in \mathbb{G}_2$ alors $x_Q \in \mathbb{F}_{q^{k/2}}$.
- En effet $q^{k/2} = -1 \pmod{\ell}$ donc $\pi^{q^{k/2}}(Q) = -Q$.
- Donc si $P \in \mathbb{G}_1$, $Q \in \mathbb{G}_2$ alors le dénominateur de $f_P(Q)$ vit dans $\mathbb{F}_{q^{k/2}}$, donc il sera tué par l'exponentiation finale par $(q^d - 1)/\ell$.
- Pas besoin de s'embêter à calculer les dénominateurs $v_{\lambda P}(Q)$!

Miller's algorithm on elliptic curves

Algorithme (Computing the Tate pairing)

Input: $\ell \in \mathbb{N}$, $P = (x_1, y_1) \in E[\ell](\mathbb{F}_q)$, $Q = (x_2, y_2) \in E(\mathbb{F}_{q^d})$, d even.

Output: $e_T(P, Q)$.

- ① Compute the binary decomposition : $\ell := \sum_{i=0}^l b_i 2^i$. Let $T = P, f_1 = 1, f_2 = 1$.
- ② For i in $[l..0]$ compute
 - ① α , the slope of the tangent of E at T .
 - ② $T = 2T$. $T = (x_3, y_3)$.
 - ③ $f_1 = f_1^2 (y_2 - \alpha(x_2 - x_3) - y_3)$, $f_2 = f_2^2 (x_2 + (x_1 + x_3) - \alpha^2)$.
 - ④ If $b_i = 1$, then compute
 - ① α , the slope of the line going through P and T .
 - ② $T = T + Q$. $T = (x_3, y_3)$.
 - ③ $f_1 = f_1^2 (y_2 - \alpha(x_2 - x_3) - y_3)$, $f_2 = f_2 (x_2 + (x_1 + x_3) - \alpha^2)$.

Return

$$\left(\frac{f_1}{f_2} \right)^{\frac{q^d - 1}{\ell}} .$$

Bibliography



D. Boneh et M. Franklin. « Identity-based encryption from the Weil pairing ». In : *SIAM Journal on Computing* 32.3 (2003), p. 586–615 (cf. p. 34).



D. Boneh, B. Lynn et H. Shacham. « Short signatures from the Weil pairing ». In : *Journal of Cryptology* 17.4 (2004), p. 297–319 (cf. p. 34).



D. Boneh, E.-J. Goh et K. Nissim. « Evaluating 2-DNF Formulas on Ciphertexts. ». In : *TCC*. T.3378. Springer. 2005, p. 325–341 (cf. p. 36).



V. Goyal, O. Pandey, A. Sahai et B. Waters. « Attribute-based encryption for fine-grained access control of encrypted data ». In : *Proceedings of the 13th ACM conference on Computer and communications security*. ACM. 2006, p. 98 (cf. p. 34).



A. Joux. « A one round protocol for tripartite Diffie–Hellman ». In : *Journal of Cryptology* 17.4 (2004), p. 263–276 (cf. p. 34).



A. Sahai et B. Waters. « Fuzzy identity-based encryption ». In : *Advances in Cryptology–EUROCRYPT 2005* (2005), p. 457–473 (cf. p. 34).



E. Verheul. « Self-blindable credential certificates from the Weil pairing ». In : *Advances in Cryptology–ASIACRYPT 2001* (2001), p. 533–551 (cf. p. 34).